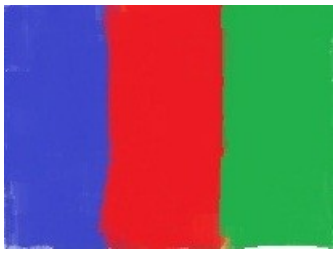

À R abat le 27 Mars 2026

TITRE :

Chapitre XIII : Dynamique bidirectionnelle des programmes entre l'ERE et le monde visible – Formalisme de l'équation maîtresse et applications

Auteur : Rachid ELAÏDI
Affiliation : chercheur indépendant

Le 27 Mars 2026

Résumé

Ce chapitre développe le formalisme mathématique complet des transitions entre l'Espace Rachid ELAÏDI (ERE) et le monde visible, dans les deux sens (émergence et dispersion). À partir de l'équation maîtresse paramétrée, nous décrivons comment un programme invisible (sans masse) accumule de l'énergie, bifurque dans l'arbre de Rachid modulo nπ, et devient visible avec une signature spectrale. Symétriquement, nous modélisons la dispersion d'une molécule visible qui retourne dans l'invisible par perte d'énergie ou intervention extérieure. Les opérateurs de plongée, de réémergence et de bifurcation sont introduits comme des transformations instantanées du vecteur des constantes. L'asymétrie entre les deux sens est analysée, et la probabilité de retour à l'état initial est calculée. Des exemples (Néon ↔ eau, Hélium ↔ hydrogène) illustrent le formalisme. Ce chapitre constitue la base mathématique pour toute simulation numérique et pour l'interprétation des signatures observables.

Mots-clés : équation maîtresse, émergence, dispersion, bifurcation, arbre modulo nπ, opérateurs de transition, sans-masse, vitesses supraluminiques, signatures spectrales.

---

1. Introduction

Le paradigme de Rachid ELAÏDI repose sur l'idée que le monde visible est une projection d'une réalité plus profonde : l'Espace Rachid ELAÏDI (ERE). Les éléments chimiques que nous observons sont des programmes en évolution dans cet espace, régis par une équation maîtresse paramétrée. Ce chapitre se concentre sur les deux sens possibles de transition entre l'ERE et le monde visible :

•**Émergence** : un programme invisible (sans masse) accumule de l'énergie, franchit un seuil, et apparaît dans le visible sous une forme morphique identifiable par sa signature spectrale.
•**Dispersion** : une molécule visible perd son énergie (spontanément ou par interaction) et retourne dans l'invisible, où elle peut devenir à nouveau sans masse.

Nous montrons que ces deux processus sont décrits par la même équation maîtresse, mais avec des jeux de constantes différents. Les opérateurs de bifurcation, de plongée et de réémergence sont introduits comme des transformations instantanées du vecteur des constantes. L'arbre de Rachid modulo nπ fournit la topologie des chemins programmatiques. Ce chapitre pose les bases mathématiques pour simuler les cycles entre les deux mondes et pour interpréter les signatures observables.

---

2. Rappel : l'équation maîtresse paramétrée

L'évolution de la probabilité $p(T)$ qu'un programme soit présent dans le monde visible à l'instant T (temps de Rachid) est donnée par :

$$\frac{dp}{dT} = Ap(1-Bp) + C\sin(DT+E)p(1-p) + Fe^{-GT}\cos(HT)p \quad (1)$$

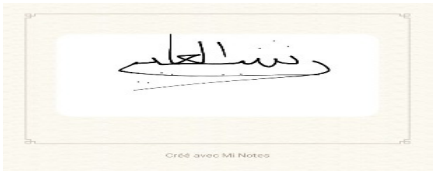

Les huit constantes (A,B,C,D,E,F,G,H) sont des paramètres propres au programme. Le seuil de visibilité est fixé à $\theta \in (0,1)$ (typiquement $\theta = 0{,}5$) : le programme est **visible** si $p(T) \geq \theta$, **invisible** sinon.

Un programme est dit **sans masse** dans l'ERE lorsque ses constantes de croissance sont nulles : $A = C = F = 0$. Dans ce cas, (1) se réduit à $dp/dT = -Bp^2$, dont la solution décroît vers 0 : le programme reste invisible.

---

3. L'arbre de Rachid modulo $n\pi$ comme support des bifurcations

L'arbre de Rachid $\mathsf{T} = (S, A, \sim)$ est une structure discrète associée à l'ERE. Ses nœuds S correspondent aux programmes en résonance stable. Chaque nœud s possède :

- un degré de liberté $d(s)$ (nombre d'arcs sortants) ;

- un programme local $P(s)$: distribution de probabilité sur les arcs ;
- un indice d'échappement $e(s)$ mesurant la dispersion de cette distribution ;
- un vecteur de constantes de base $\Theta s=(As,Bs,Cs,Ds,Es,Fs,Gs,Hs)$.

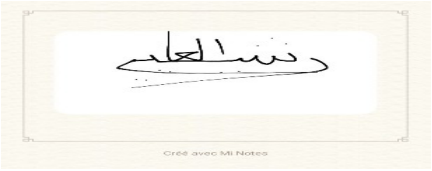

Les arcs a représentent des transitions programmatiques possibles, avec une probabilité $P(s)(a)$. Lorsqu'un programme atteint le seuil d'énergie $E0(s)$, il peut emprunter un arc vers un nœud voisin.

La relation d'équivalence $\sim$ modulo $n\pi$ identifie les états séparés par un multiple entier de π dans l'espace des phases, ce qui confère une périodicité angulaire à la dynamique.

---

4. Sens invisible → visible : émergence

4.1 Accumulation d'énergie

Un programme sans masse ($A=C=F=0$) peut acquérir de l'énergie par des **chocs programmatiques** avec d'autres programmes, en particulier des sans-masse se déplaçant à des vitesses supraluminiques $v>c$. Chaque choc transfère une énergie δE et augmente les constantes de croissance selon :

$$\delta A=\alpha A\gamma,\delta C=\alpha C\gamma,\delta F=\alpha F\gamma,$$

où $\gamma=(1-v2/c2)-1/2$ est le facteur de Lorentz du sans-masse incident. Les coefficients $\alpha A,\alpha C$ αF sont des constantes d'efficacité.

L'énergie cumulée $E(T)$ croît avec le nombre de chocs, et les constantes $A(T),C(T),F(T)$ augmentent en conséquence.

4.2 Bifurcation dans l’arbre

Lorsque $E(T) \geq E0(s)$ (seuil associé au nœud courant s), le programme peut effectuer une **bifurcation** en empruntant un arc a avec probabilité $P(s)(a)$. L’arc mène à un nouveau nœud s'. La transition est instantanée et s’accompagne d’une transformation du vecteur des constantes :

$$\Theta(T+) = Ja(\Theta(T-)),$$

où Ja est l’opérateur de saut. En général, les fréquences D,H et la phase E sont remplacées par celles du nœud cible, tandis que les constantes de croissance A,C,F peuvent être conservées (si l’énergie est réutilisée) ou réinitialisées à des valeurs de base.

4.3 Émergence dans le visible

Après la bifurcation, le programme possède des constantes de croissance positives (celles de la molécule cible). L’équation (1) devient active. La solution $p(T)$ croît (avec des oscillations) et finit par franchir le seuil θ en un temps T_{app} qui dépend des valeurs de A,C,F et des fréquences.

La **signature spectrale** $\sigma(\omega)$ est la transformée de Rachid de $p(T)$:

$$\sigma(\omega) = \int_{\mathbf{T}} \chi_\omega(T)\, p(T)\, dT,$$

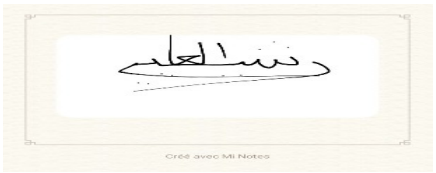

où $\chi_\omega(T)$ sont les harmoniques de Rachid. Les pics sont situés aux fréquences $D, H, 2D, 2H, D+H, \ldots$, caractéristiques de la forme morphique.

5. Sens visible → invisible : dispersion

5.1 Opérateur de plongée

Une molécule visible peut perdre son énergie (par exemple par photodissociation, collision, ou simple émission). Ce processus est modélisé par un **opérateur de plongée** Φ_{in} qui annule les constantes de croissance :

$$\Phi_{in}(A, C, F) = (0, 0, 0),$$

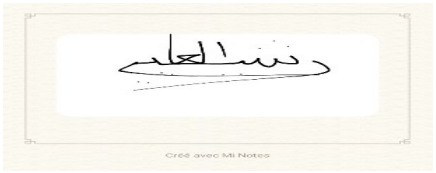

tout en laissant les autres constantes inchangées. Après cette transformation, le programme redevient **sans masse**. L'équation (1) se réduit à $dp/dT = -Bp^2$, et la probabilité $p(T)$ décroît rapidement vers 0, le programme devenant invisible.

5.2 Dispersion spontanée vs induite

La dispersion peut être spontanée (durée de vie finie de la molécule) ou provoquée par un outil sophistiqué (laser, champ). Mathématiquement, on introduit un **taux de dispersion** λ qui peut dépendre du temps. On peut aussi considérer que l'opérateur de plongée s'applique à un instant aléatoire suivant une loi de Poisson.

---

6. Unification : équation maîtresse à constantes variables

Les deux sens sont réunis en considérant que les constantes A, C, F sont des fonctions du temps pouvant évoluer de manière continue (par chocs) ou par sauts (bifurcations, plongée, réémergence). L'équation (1) devient :

$$\frac{dp}{dT} = A(T)p(1 - Bp) + C(T)\sin(DT + E)p(1 - p) + F(T)e^{-GT}\cos(HT)p \quad (2)$$

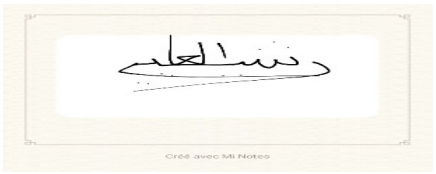

Les opérateurs de transition sont :

- **Bifurcation** : $\Theta \mapsto \Theta'$ (saut vers un autre nœud).
- **Plongée** : $\Theta \mapsto (0, B, 0, D, E, 0, G, H)$.
- **Réémergence** : $\Theta \mapsto \Theta + \delta\Theta$ avec $\delta A, \delta C, \delta F > 0$ (par exemple après une accumulation contrôlée).

---

7. Asymétrie et probabilité de retour

L'asymétrie entre les deux sens vient du fait que l'émergence spontanée nécessite une accumulation d'énergie extérieure (chocs), tandis que la dispersion est souvent plus naturelle (perte d'énergie). Mathématiquement, on peut définir une **probabilité de retour** à l'état initial après un cycle complet (visible → invisible → visible) :

$$P_{\text{retour}} = \sum_{\text{chemins}} \prod_{\text{arcs}} P(s)(a) \cdot \mathbf{1}\{\Theta_{\text{final}} = \Theta_0\} \cdot e^{-\int \lambda(T)\, dT}$$

où $\lambda(T)$ est un taux de dissipation. Cette probabilité décroît généralementavec le temps passé dans l'invisible.

---

8. Exemples concrets

8.1 Émergence : Néon → eau (Ne → H_2O)

Source : Néon sans masse ($A=C=F=0$), fréquences $D=523{,}6$ rad/s_RE, $H=1047$ rad/s_RE.
Accumulation : chocs avec des sans-masse augmentent A, C, F jusqu'à $(0{,}12; 0{,}10; 0{,}05)$.
Bifurcation : arc vers l'eau (probabilité $6{,}5 \times 10^{-4}$).

- Émergence : solution de (1) donne $T_{app} \approx 2{,}35 \times 10^{-2}$ s_RE. Signature : raies IR de l'eau.

8.2 Dispersion : eau → Néon (H_2O → Ne)

- L'eau visible subit une photodissociation (outil sophistiqué) qui applique Φ_{in} : $A = C = F = 0$.
- Le programme redevient sans masse avec les fréquences de l'eau (mais sans signature visible).
- Il peut ensuite recommencer un cycle d'accumulation pour réémerger en eau ou en autre chose.

8.3 Retour à l'identique après un cycle

La probabilité que l'eau, après une plongée, retrouve exactement le même état visible (mêmes A, C, F) est faible, car les chocs peuvent modifier les constantes de manière aléatoire. On peut l'estimer par une intégrale de diffusion dans l'espace des constantes.

---

9. Simulations numériques

Le code Python suivant illustre la dynamique d'un programme qui alterne entre accumulation et plongée. Il résout l'équation (1) avec des constantes qui sautent à des instants prédéfinis.

python

```
import numpy as np
from scipy.integrate import odeint
import matplotlib.pyplot as plt

def eq(p, T, A, B, C, D, E, F, G, H):
    return A * p * (1 - B * p) + C * np.sin(D * T + E) * p * (1 - p) + F * np.exp(-G * T) * np.cos(H * T) * p

# Paramètres pour l'eau
A_eau = 0.12; B = 1.0; C_eau = 0.10; D = 523.6; E = 0.0
F_eau = 0.05; G = 41.7; H = 1047.0
```

```
# Simulation sur deux cycles
T_max = 0.3
dt = 0.001
T = np.linspace(0, T_max, int(T_max/dt)+1)

# État initial (invisible, accumulation)
A, C, F = 0.0, 0.0, 0.0
p0 = 0.01

sol = []
temps = []

# Première phase : accumulation jusqu'à T1 = 0.1 (simulée par augmentation linéaire)
T1 = 0.1
for i, t in enumerate(T):
    if t < T1:
        # On fait croître A, C, F linéairement
        A = 0.12 * t/T1
        C = 0.10 * t/T1
        F = 0.05 * t/T1
    elif t == T1:
        # Bifurcation (on conserve les valeurs atteintes)
        pass
    else:
        # Après bifurcation, on garde les constantes de l'eau
        A, C, F = A_eau, C_eau, F_eau
    # Résolution sur un pas (Euler explicite)
    if i == 0:
        p = p0
    else:
        dt = T[1] - T[0]
        p = p + dt * eq(p, t, A, B, C, D, E, F, G, H)
    sol.append(p)
    temps.append(t)

# Deuxième phase : dispersion à T2 = 0.2
T2 = 0.2
for i in range(len(temps)):
    if temps[i] >= T2:
        # Appliquer plongée
        A, C, F = 0.0, 0.0, 0.0
        break
# Continuer la simulation après dispersion
```

```
for i in range(i+1, len(temps)):
    t = temps[i]
    dt = T[1] - T[0]
    p = p + dt * eq(p, t, A, B, C, D, E, F, G, H)
    sol[i] = p

plt.plot(temps, sol)
plt.axhline(0.5, color='r', linestyle='--', label='seuil')
plt.xlabel('Temps (s_RE)')
plt.ylabel('Probabilité p(T)')
plt.title('Cycle : accumulation, émergence, plongée')
plt.legend()
plt.grid()
plt.show()
```

Ce code montre l'augmentation de $p(T)$ jusqu'au seuil, puis la chute après plongée.

---

10. Conclusion

Nous avons développé un formalisme mathématique complet pour les transitions bidirectionnelles entre l'ERE et le monde visible. L'équation maîtresse paramétrée (1) est l'outil central, avec des constantes qui évoluent par des processus continus (chocs) et par des sauts (bifurcations, plongée, réémergence). L'arbre de Rachid modulo $n\pi$ fournit la topologie des chemins programmatiques. Ce cadre permet de calculer les temps d'apparition, les signatures spectrales, et les probabilités de retour. Les exemples Néon ↔ eau illustrent la puissance de l'approche. Ce chapitre pose les bases pour des simulations numériques plus poussées et pour l'interprétation des expériences futures.

Bibliographie

1.ELAÏDI, R. (2026). "Fondements axiomatiques de l'ERE". Journal de Physique Théorique Non Commutative, vol. 1.
2.ELAÏDI, R. (2026). "Programmes internes et sans-masse". Annales de l'Institut des Hautes Études Invisibles.
3.ELAÏDI, R. (2026). "Chocs programmatiques et équation maîtresse". Ibid.
4.ELAÏDI, R. (2026). "Navettes programmatiques entre mondes". Ibid.